

CONGRESSO
SID AMD LAZIO 2015
IL PAZIENTE DIABETICO AL CENTRO:
RICERCA, ASSISTENZA E INNOVAZIONE

La dr.ssa Teresa Mezza dichiara di
NON aver ricevuto
negli ultimi due anni
compensi o finanziamenti da
Aziende Farmaceutiche e/o Diagnostiche





UNIVERSITÀ
CATTOLICA
del Sacro Cuore

ADATTAMENTO DELLE CELLULE INSULARI ALL'INSULINO-RESISTENZA NELL'UOMO

TERESA MEZZA, MD
CONGRESSO SID AMD REGIONE LAZIO
ROMA, 8-9-MAGGIO 2015



OUTLINE

- ❖ Background e Ipotesi

- ❖ Studio “In Vivo”

- ❖ Studi “Ex Vivo”

- Morfologia insulare

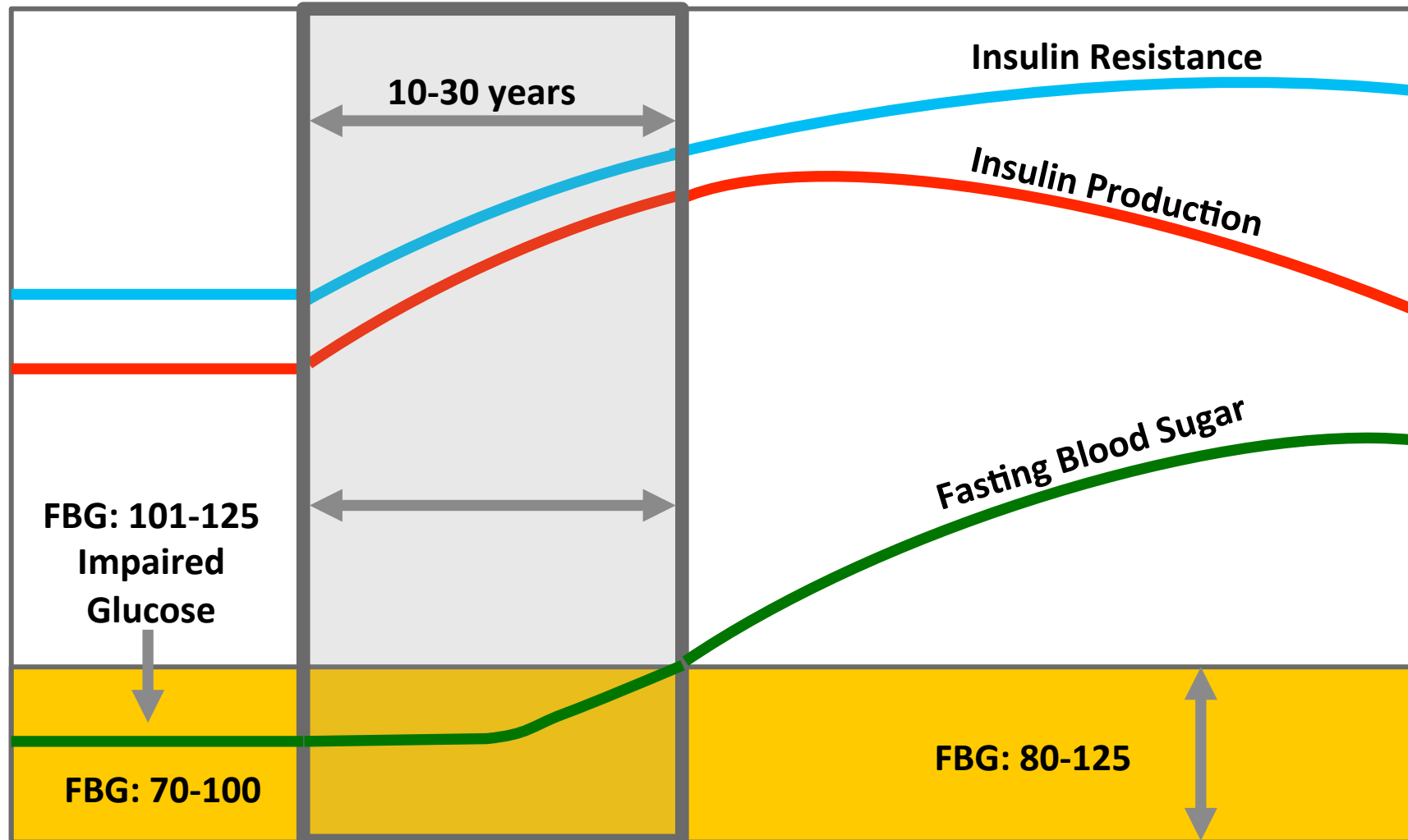
- Neogenesi

- Transdifferenziazione

- ❖ Modellistica

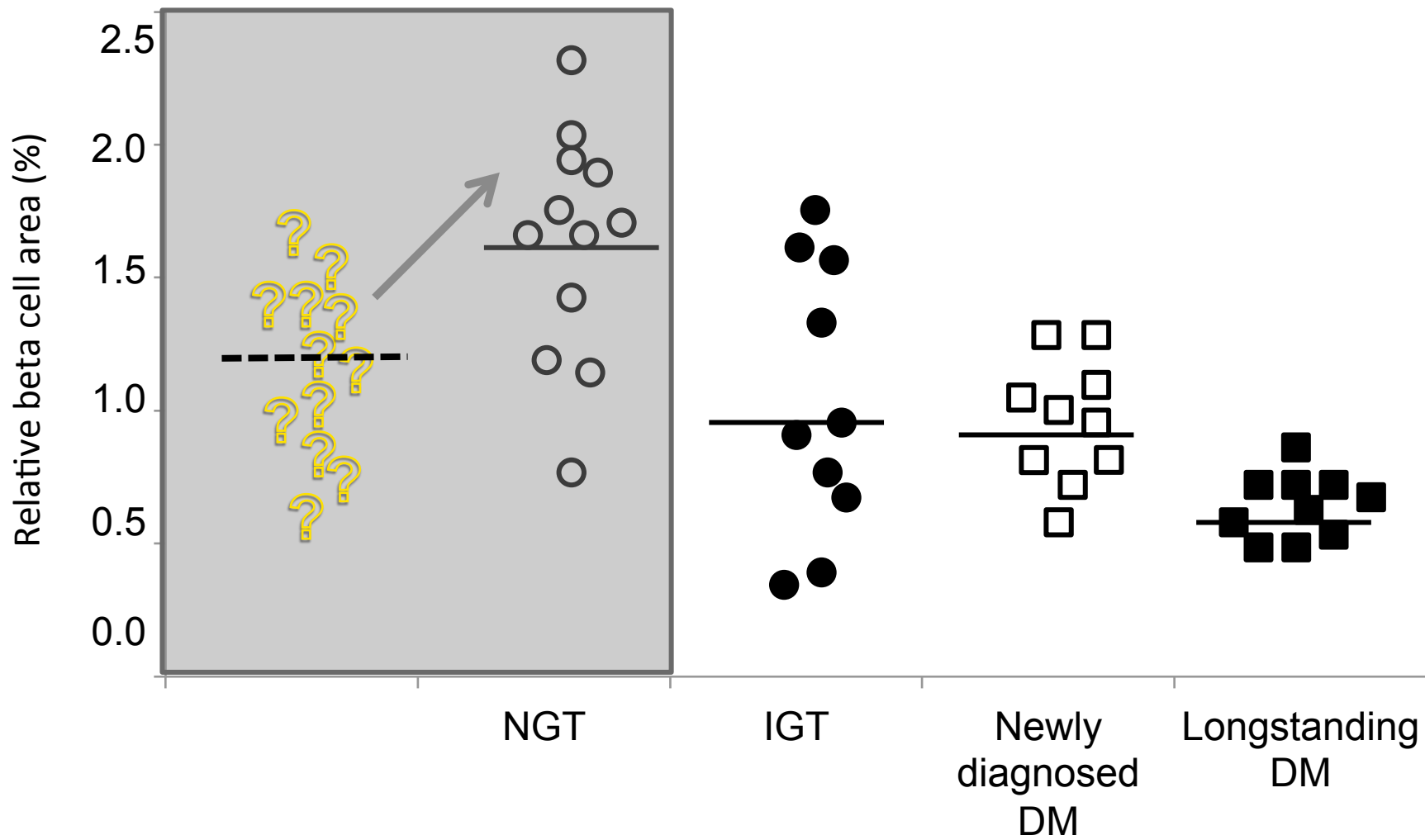
- ❖ Prospettive

Diabete Mellito Tipo 2: Time course



Adapted from Type 2 diabetes BASIC 2000 International diabetes center Minneapolis MN

DM2 riduce la massa β -cellulare



Ipotesi

Insulin resistenza “per se” sia responsabile di alterazione della massa e funzione β cellulare

Overall Objective

Studiare possibili correlazioni tra un determinato pattern di secrezione e sensibilità insulinica and caratteristiche ex vivo delle cellule insulari.

OUTLINE

- ❖ Background e Ipotesi

- ❖ Studio “In Vivo”

- ❖ Studi “Ex Vivo”

- Islet morphology

- Neogenesi

- Transdifferenziazione

- ❖ Modellistica

- ❖ Prospettive

Pazienti e Studio in vivo

Pazienti non diabetici (10 F/8 M, 51 ± 15 aa., BMI 27.9 ± 5.3 kg/m²) sottoposti a duodenocefalopancreasectomia:

Tolleranza Glucidica

OGTT (Oral Glucose Tolerance Test; 75 gr glucose)

Insulino sensibilità

Clamp Euglicemico Iperinsulinemica (40 mU/m^2)

Secrezione insulinica

Clamp *Iperglicemico* (FPG+125 mg/dl + Arginina)

Asse Entero-insulare

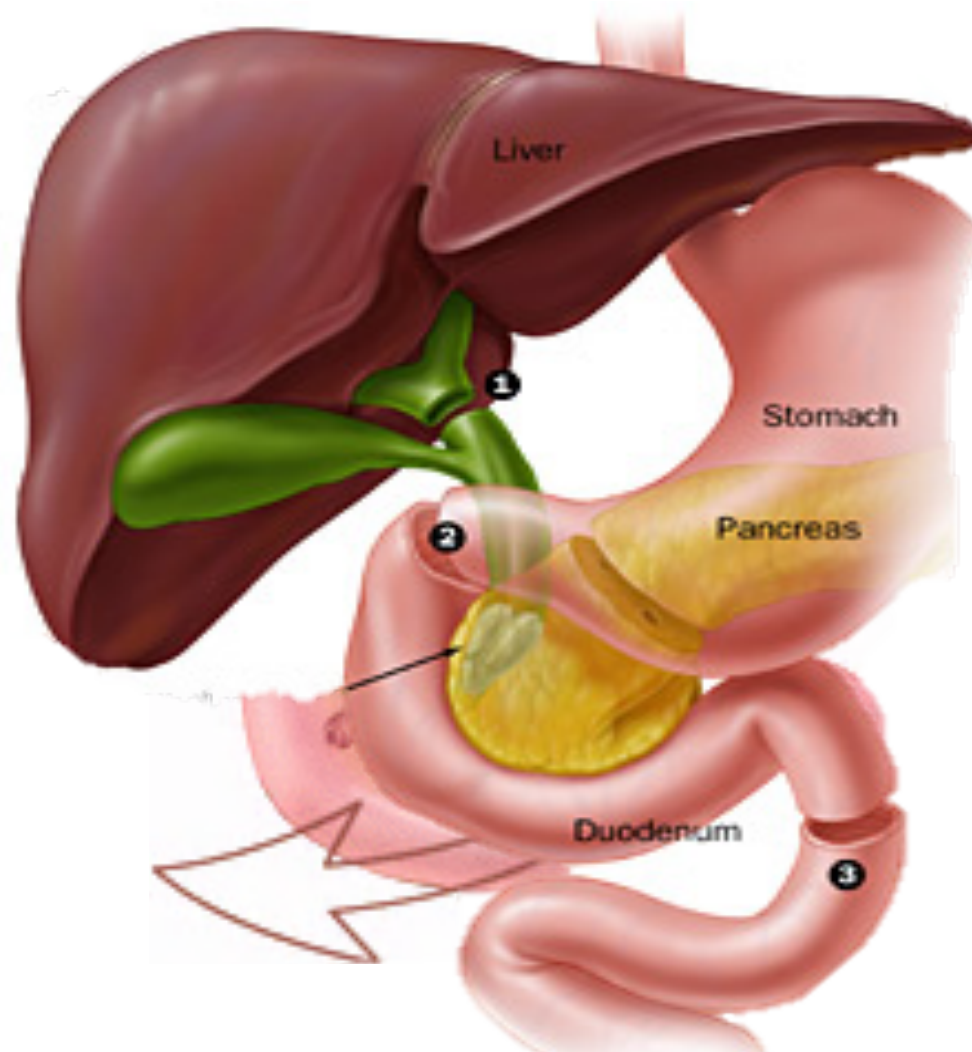
Pasto Misto

pazienti sottoposti a panx

divisi per glucose uptake

	Insulin sensitive (n. 9)	Insulin resistant (n. 9)
Glucose Uptake (mg·kg⁻¹·min⁻¹)	6.38±0.12	3.36±0.34
BMI (kg/m ²)	27.7±3.22	28.1±3.7
Waist/hip ratio	0.93±0.05	0.95±0.04
Glucose (mg/dl)	89.8±11.8	90.4±13.7
Insulin (μUI/ml)	7.83±2.07	9.23±4.21
C-peptide (ng/ml)	2.52±0.44	2.7±0.67
Glicose AUC (mg/dl x 120' x 10 ³)	194±33.7	207±31.8
Insulin AUC (μUI/ml x 120' x 10 ³)	33.9±6.8	44.9±16.2
C-peptide AUC (ng/ml x 120' x 10 ³)	0.9±0.2	2.5±0.1

Whipple Surgery



OUTLINE

- ❖ Background e Ipotesi

- ❖ Studio “In Vivo”

- ❖ Studi “Ex Vivo”

- Morfologia insulare

- Neogenesis

- Transdifferenziazione

- ❖ Modellistica

- ❖ Prospettive

Ex vivo data - Pancreas

Morfologia Insulare

IHC for glucagon, insulin and somatostatin

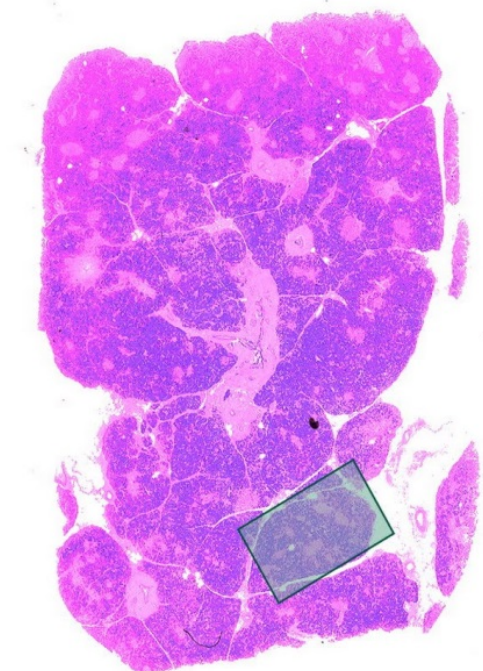
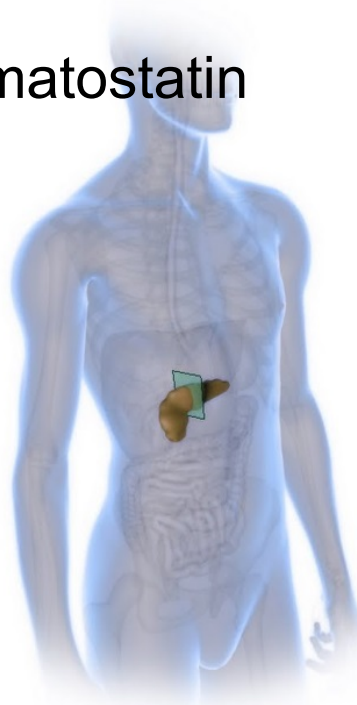
Neogenesi

“scattered” islets (<8 nuclei)

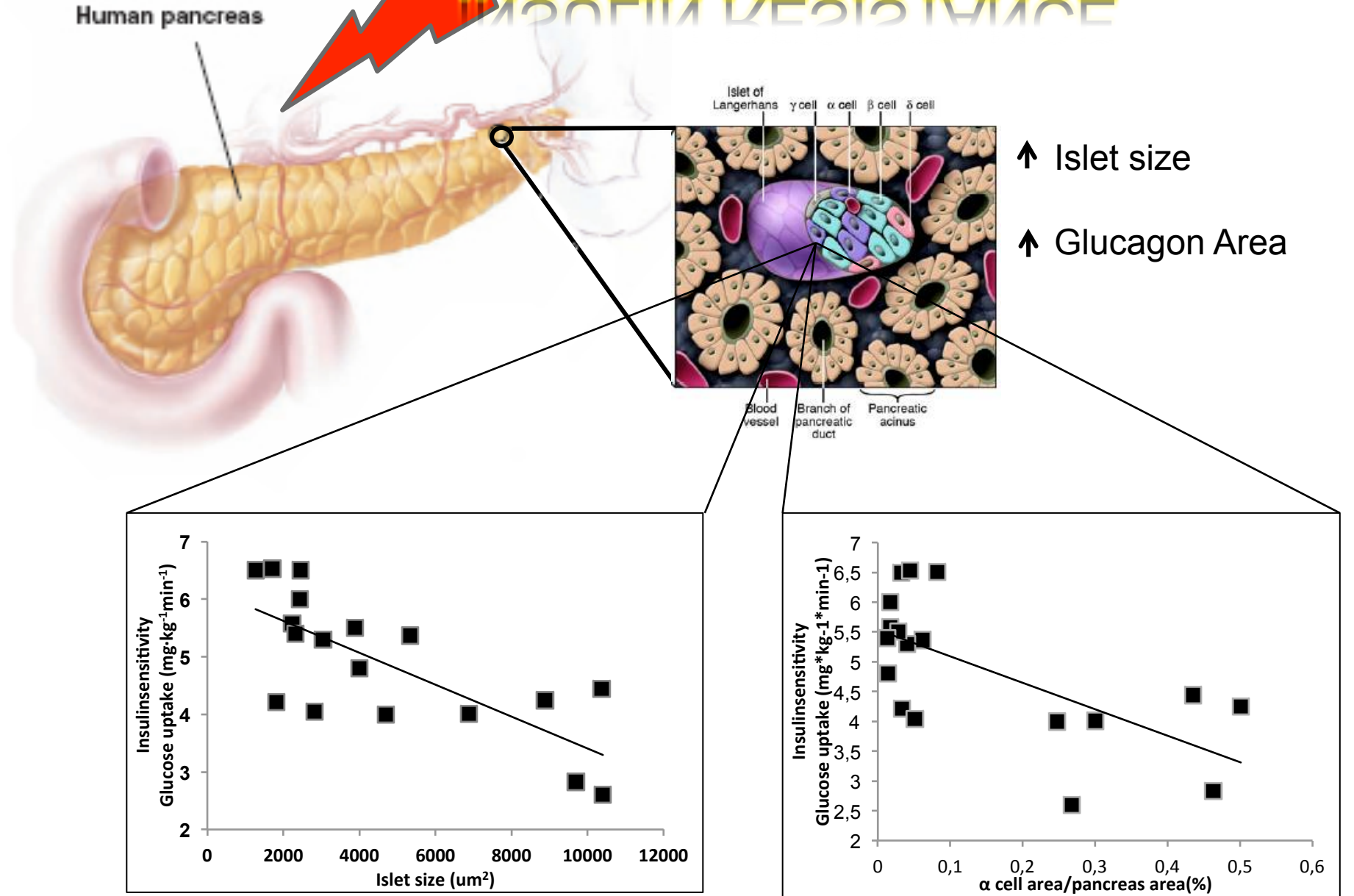
Insulin + CK19 duct cells

Transdifferenziazione

Insulin + glucagon double positive cells

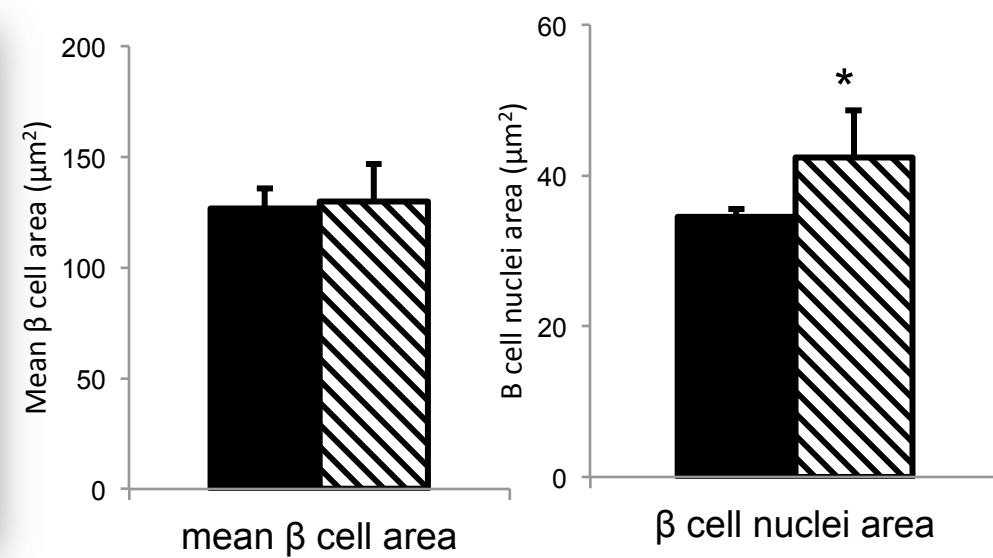
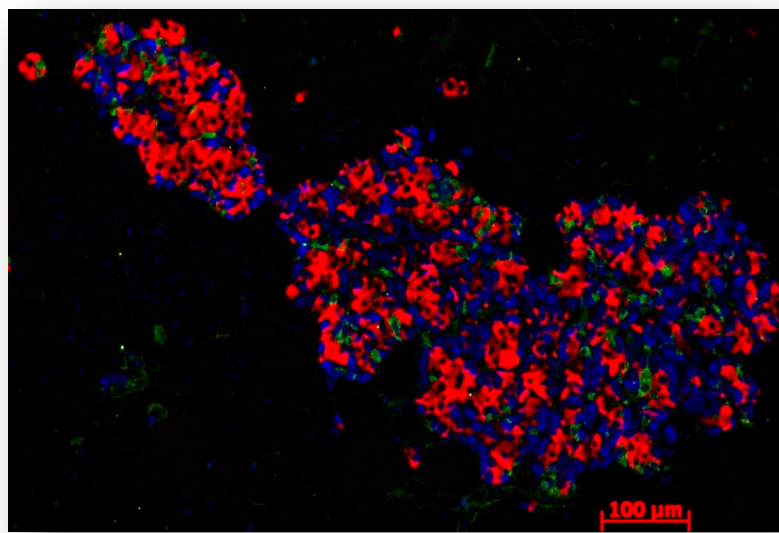
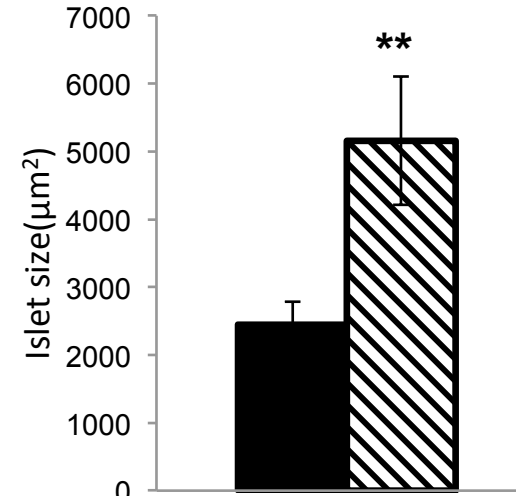
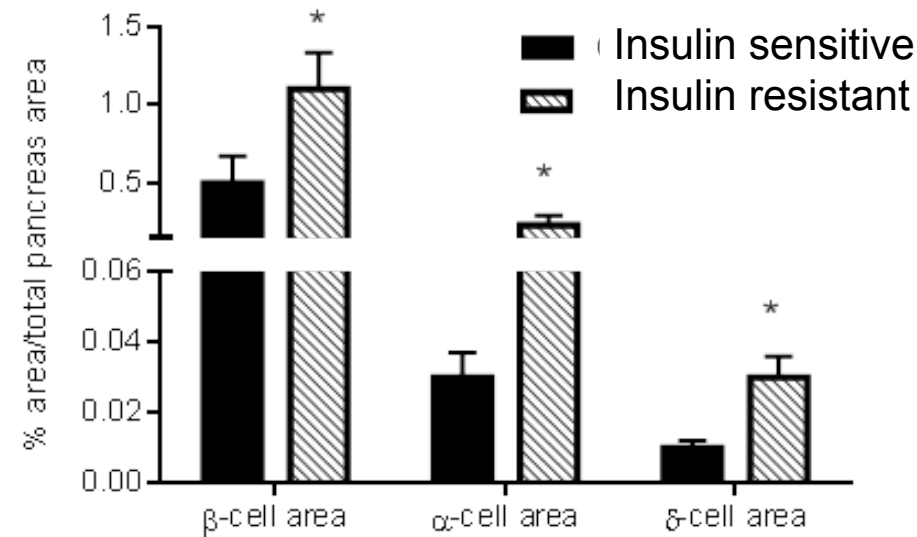


INSULIN RESISTANCE



Mezza T et al. Diabetes 2014

Morfologia insulare



Mezza T et al. Diabetes 2014

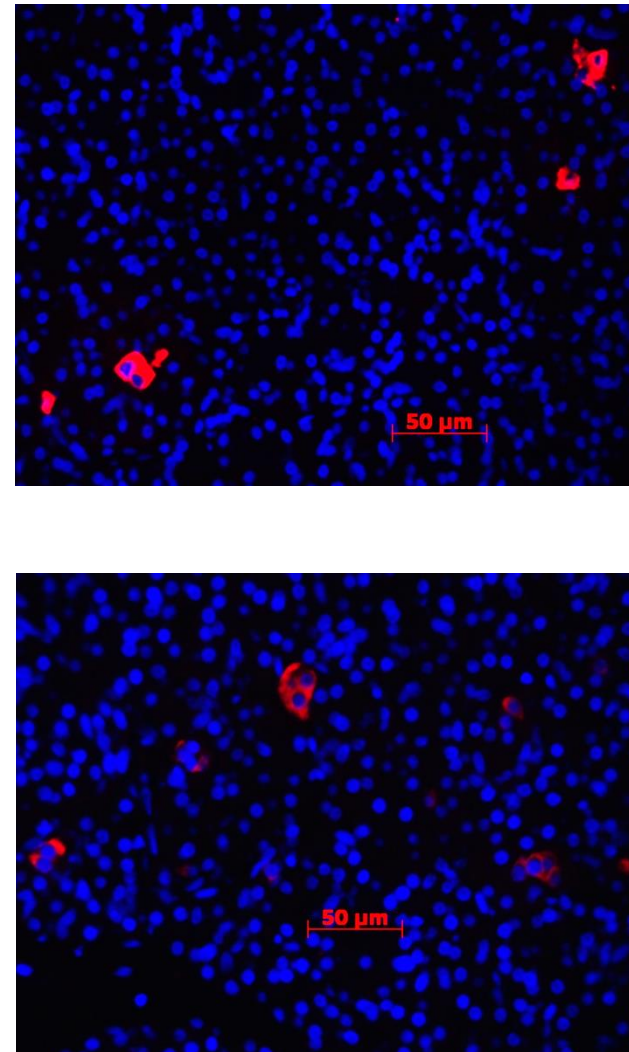
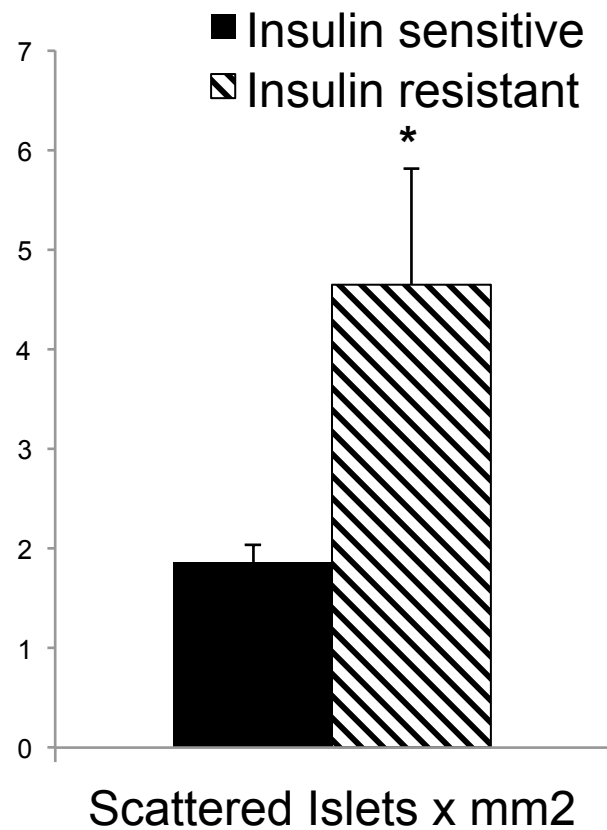


**Quali sono i meccanismi responsabili
della alterata morfologia insulare in
condizioni di insulinoresistenza?**

No Proliferazione (Ki67)

No Apoptosi (Tunel)

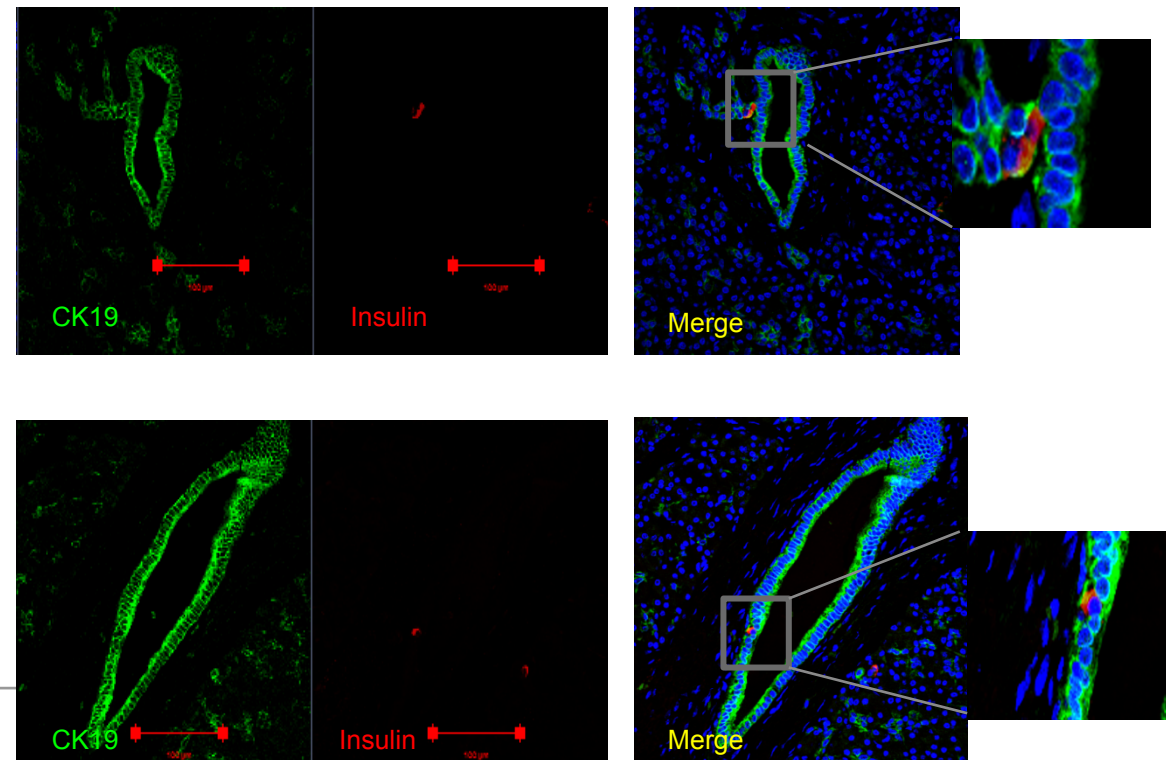
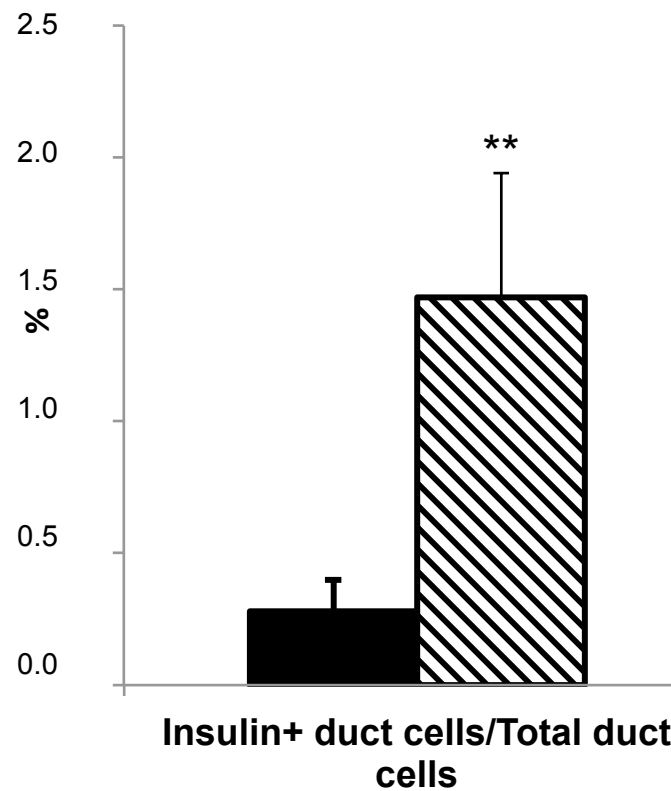
Neogenesis: scattered islets



n.: 9 IS vs 9 IR,
* p<0.05, **p<0.01

Mezza T et al. Diabetes 2014

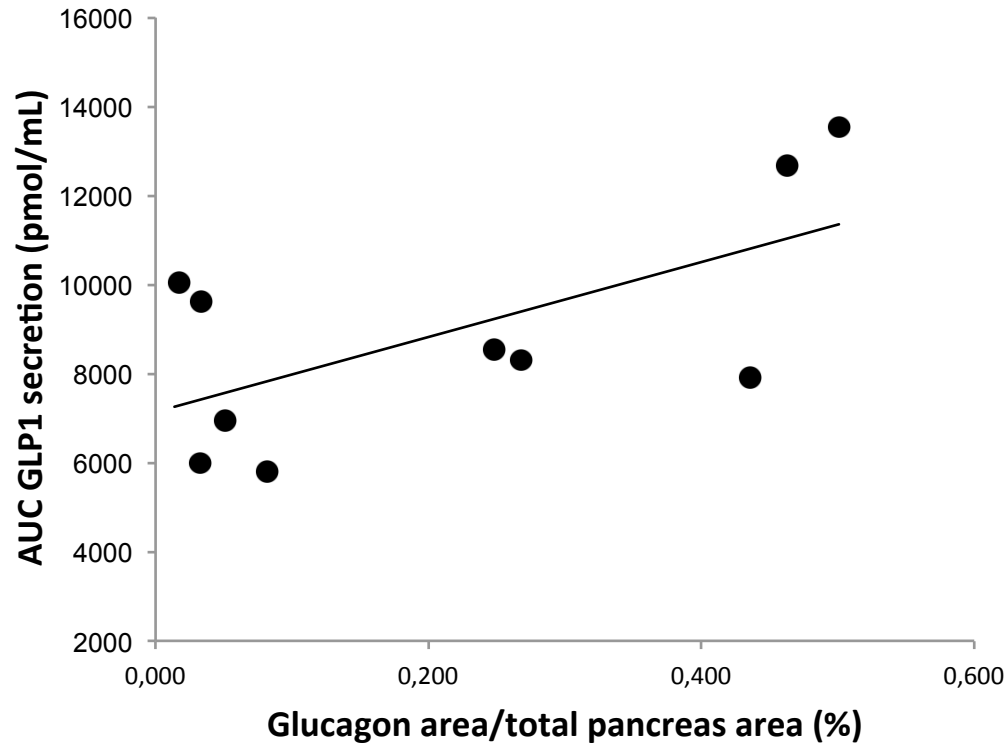
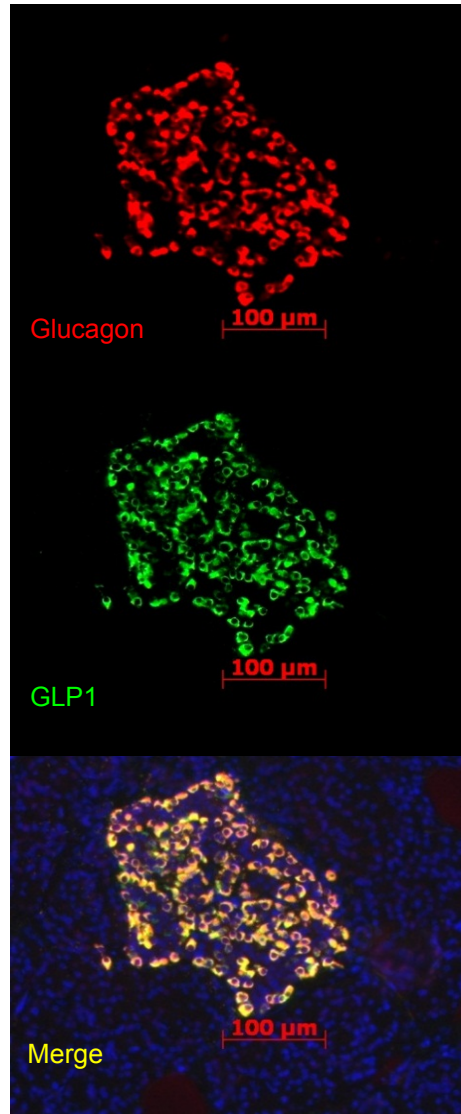
Neogenesi: Cellule duttali



n.: 9 control vs 9 IR,
* p<0.05, **p<0.01

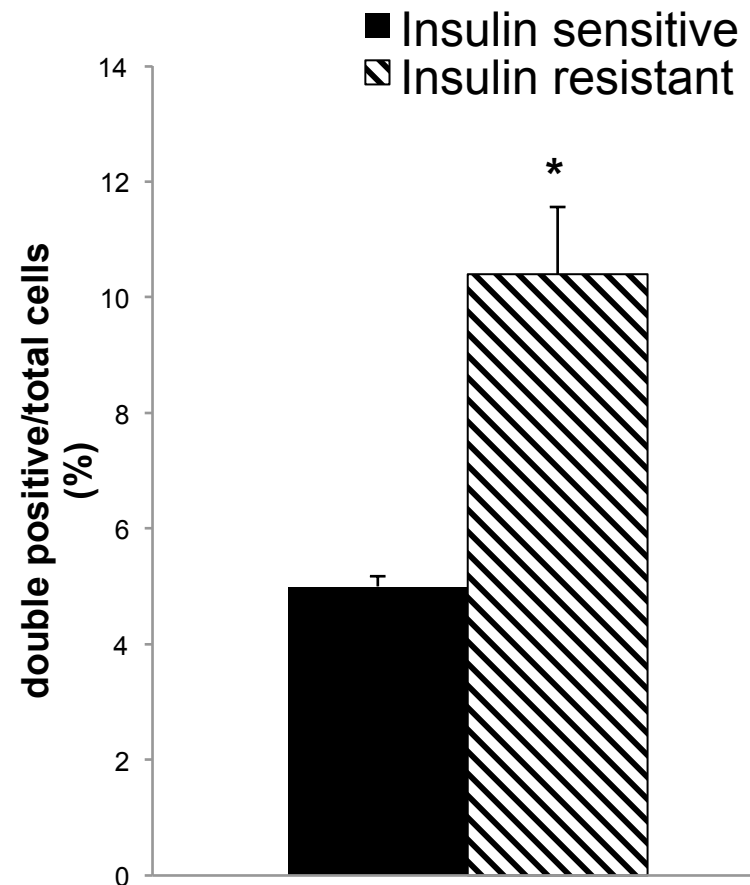
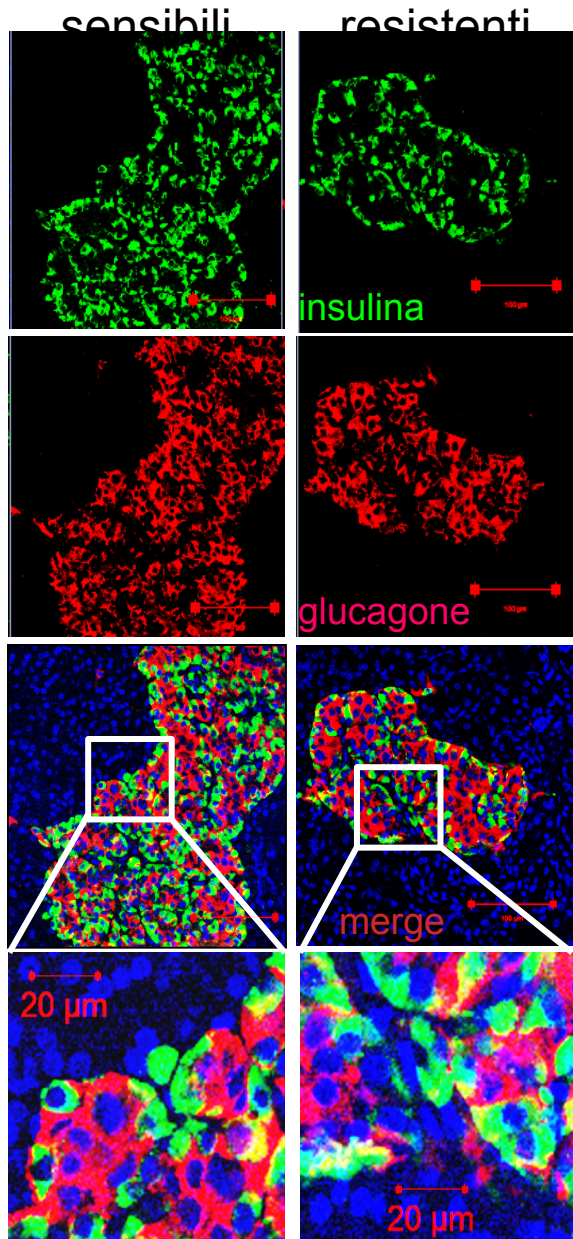
Mezza T et al. Diabetes 2014

GLP-1 intrainsulare correla con secrezione



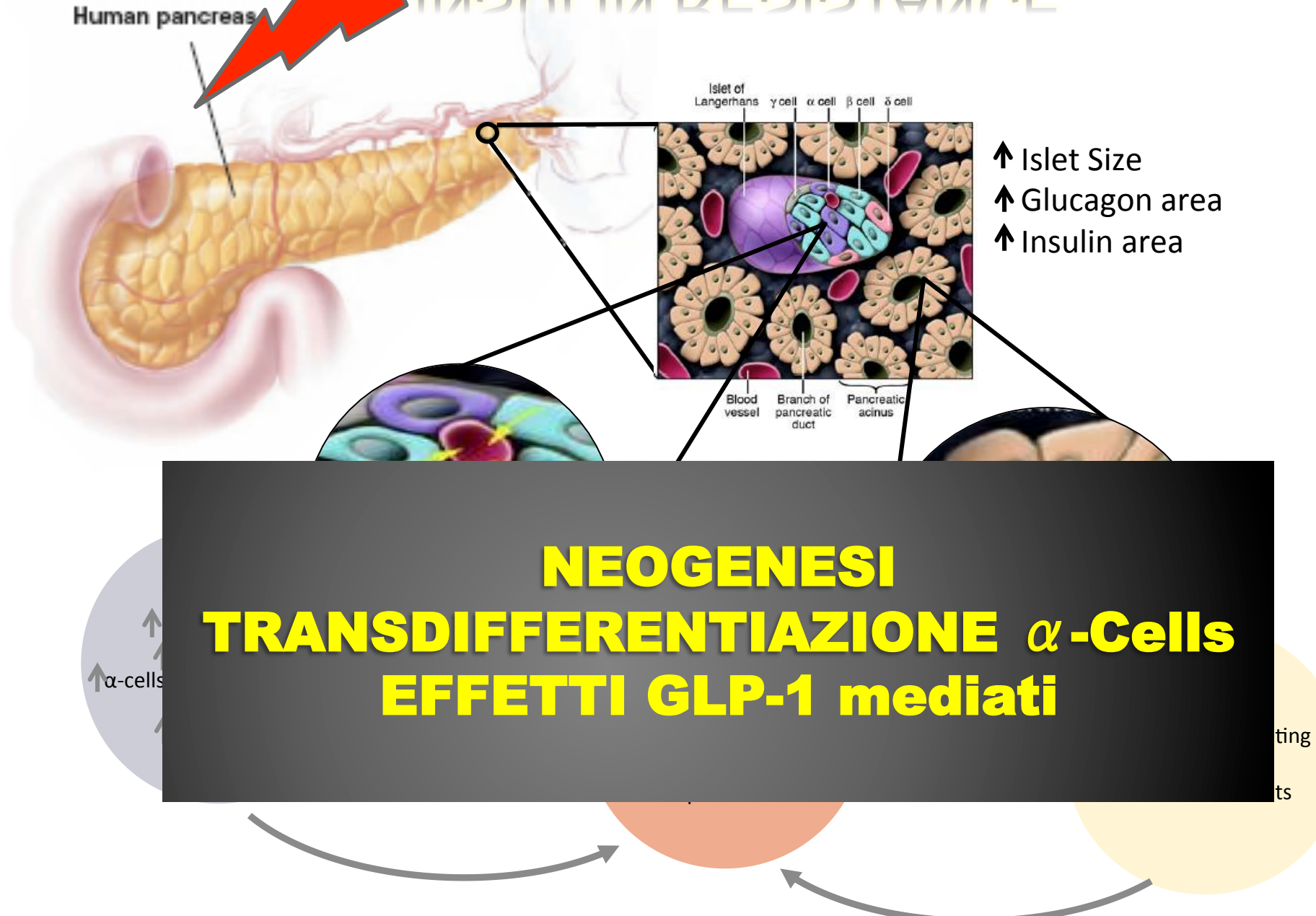
Mezza T et al. Diabetes 2014

Transdifferenziazione $\alpha \rightarrow \beta$



Mezza T. Diabetes 63:994; 2014

INSULIN RESISTANCE



OUTLINE

- ❖ Background e Ipotesi

- ❖ Studio “In Vivo”

- ❖ Studi “Ex Vivo”

- Islet morphology

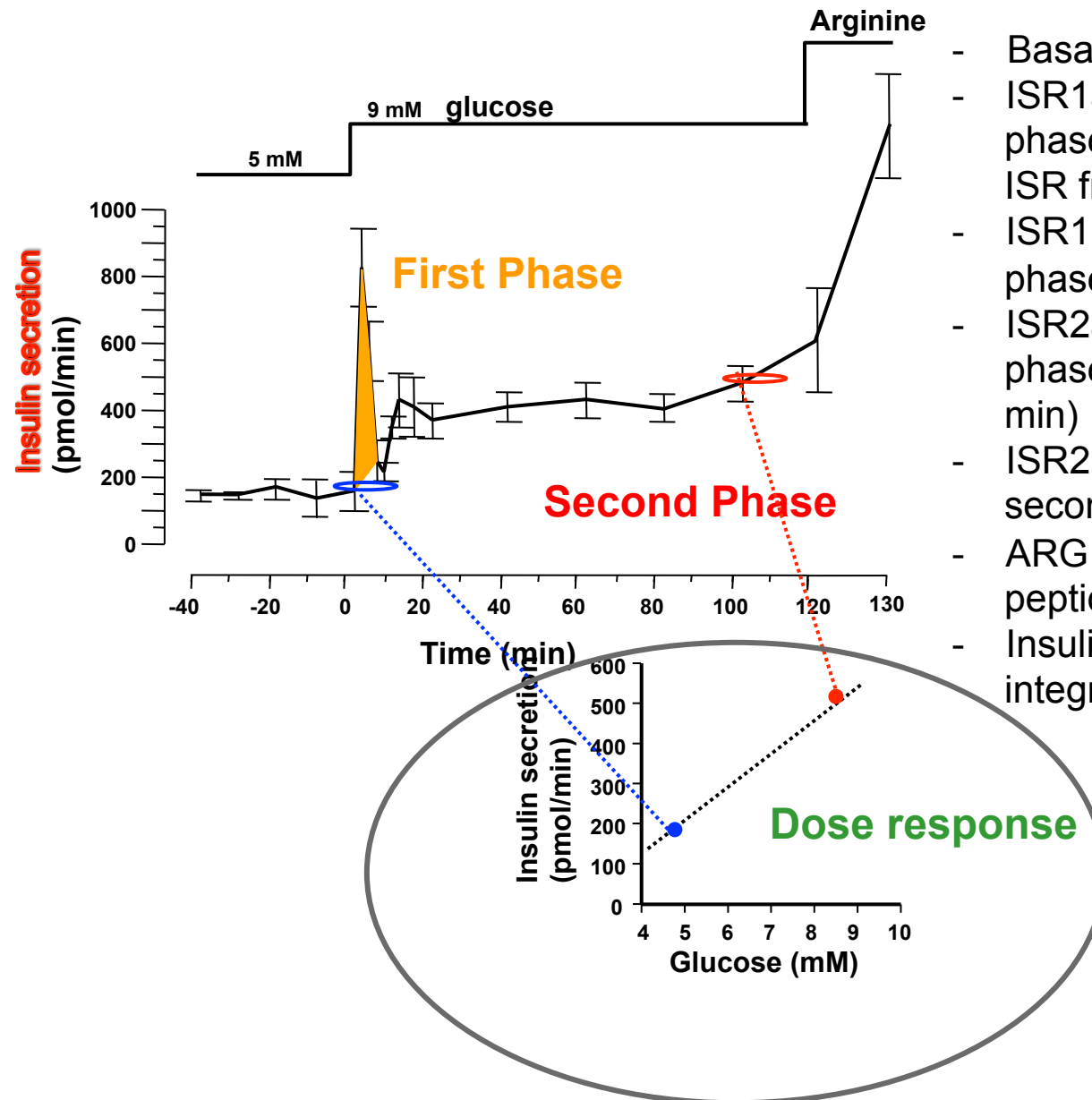
- Neogenesi

- Transdifferenziazione

- ❖ Modellistica

- ❖ Prospettive

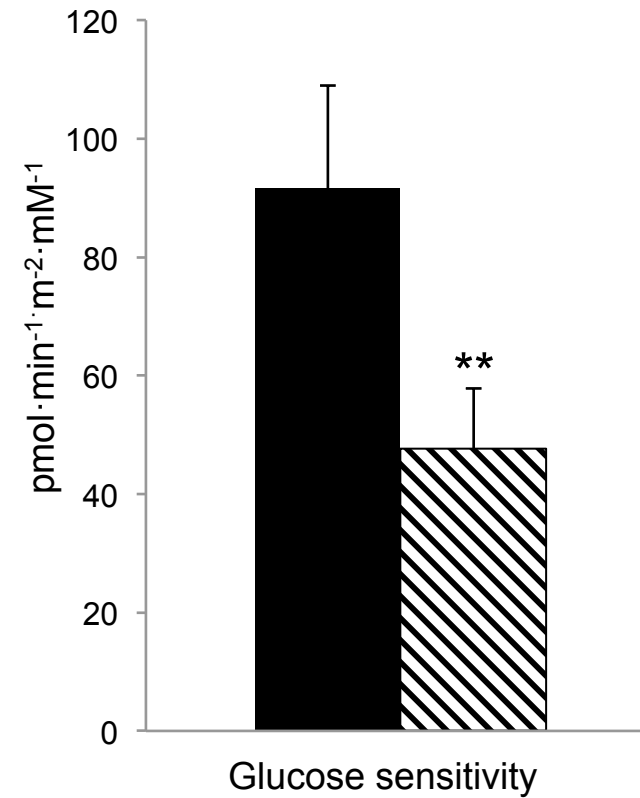
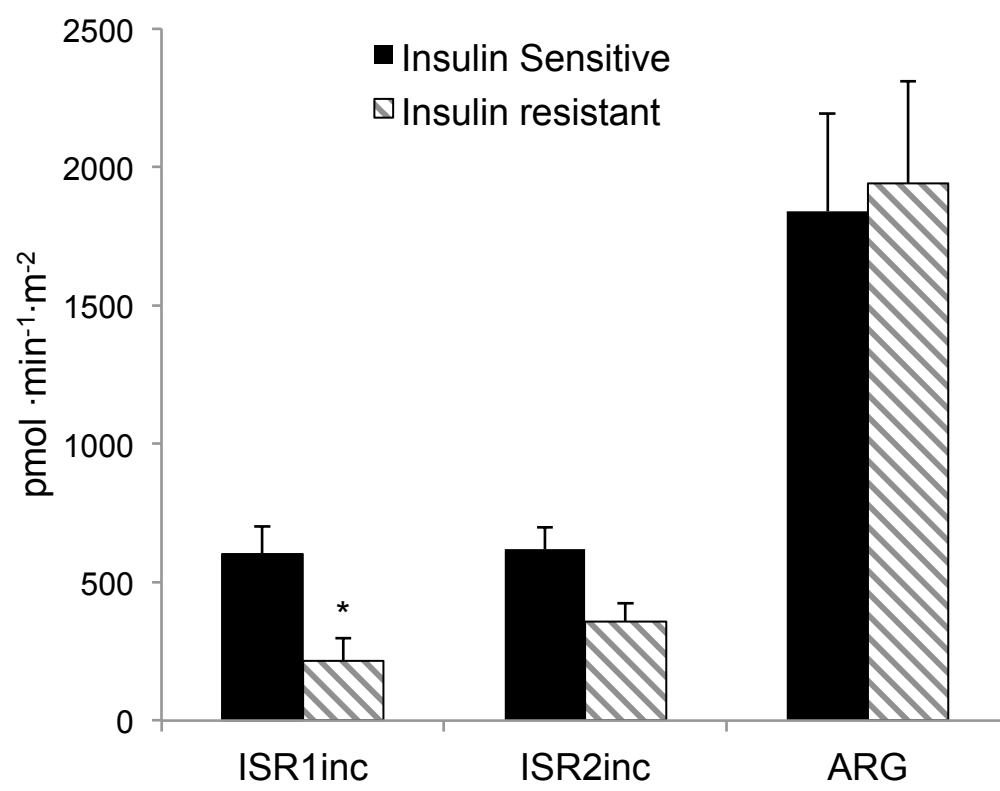
Secrezione – Modellistica



- Basal Insulin secretion
- ISR1abs Absolute response of first phase insulin secretion (mean integral ISR from 0 to 6 min)
- ISR1inc Incremental response of first phase (ISR1abs-ISRb)
- ISR2abs Absolute response of second phase (mean integral ISR from 100 a 120 min)
- ISR2inc Incremental Response of second phase (ISR2abs-ISRb)
- ARG Arginine response (130 min C-peptide - 120 min C-peptide)
- Insulin clearance (ISR2abs/mean integrale da 100 a 120 min)

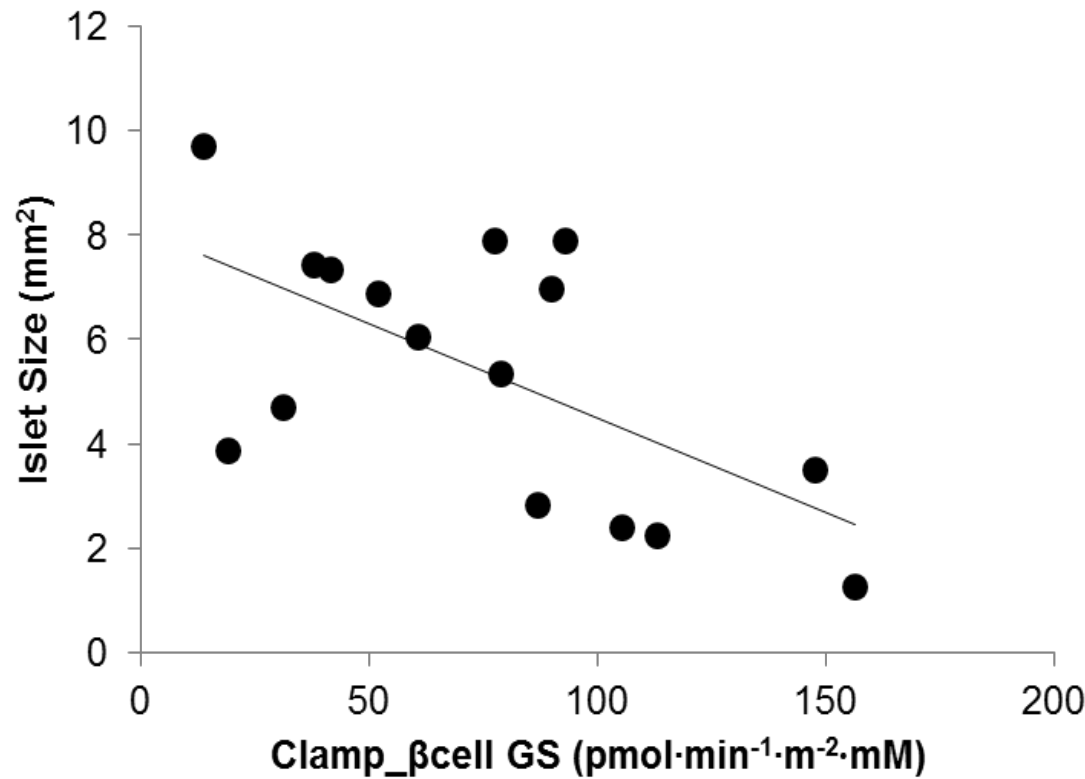
glucose sensitivity (ISR2inc/(Glucose steady state-basal glucose))

Secrezione Insulinica e Glucose Sensitivity



Mezza T. et al. Submitted

Aumento massa: un possibile stimolo



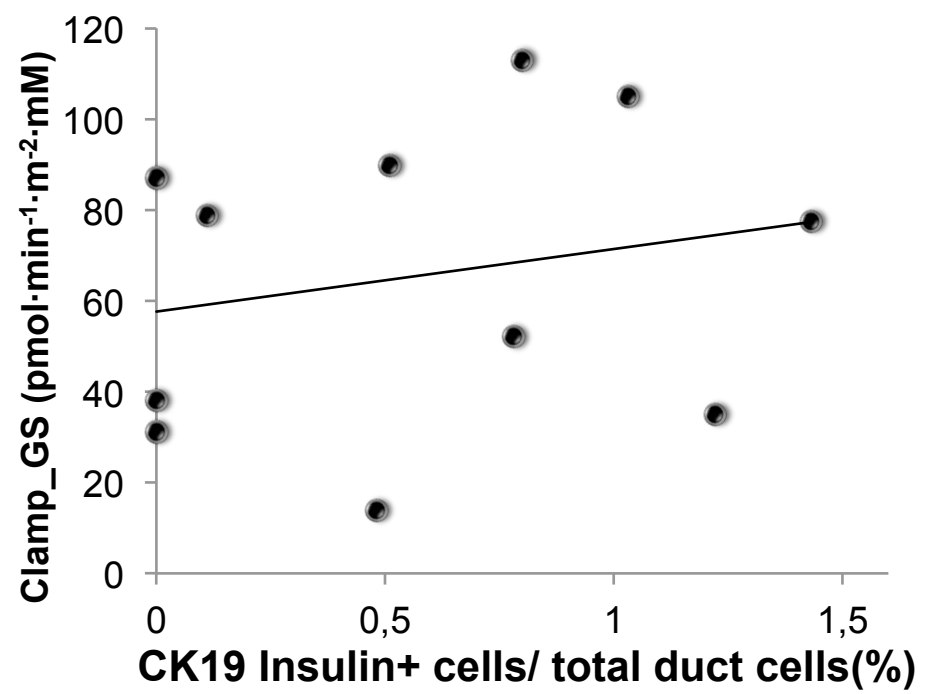
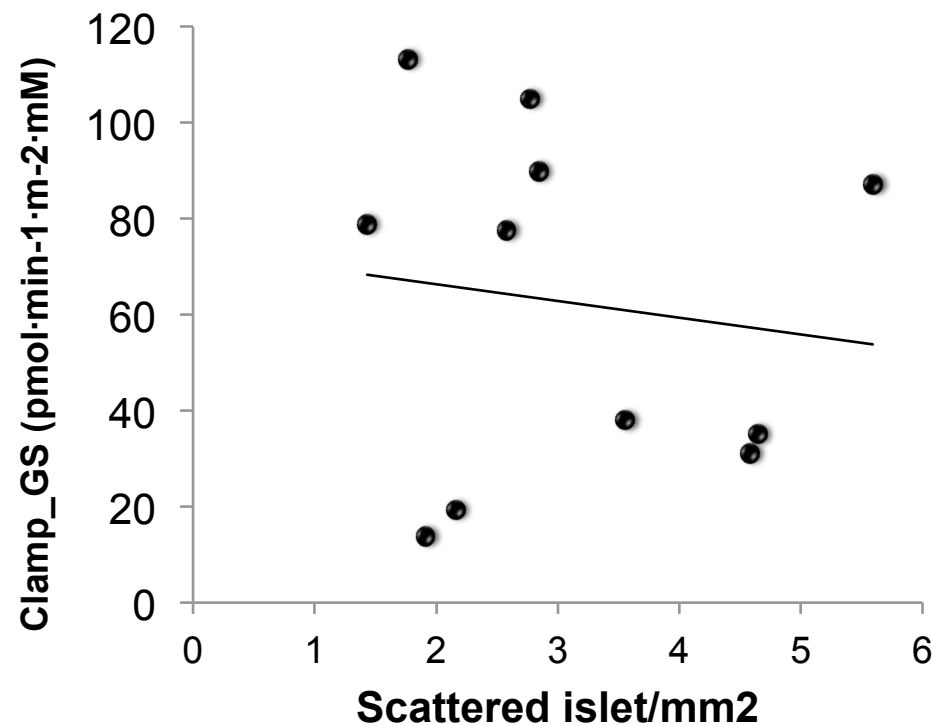
Mezza T. et al. Submitted



Quale è il meccanismo
“triggered” dalla alterata funzione
beta cellulare?

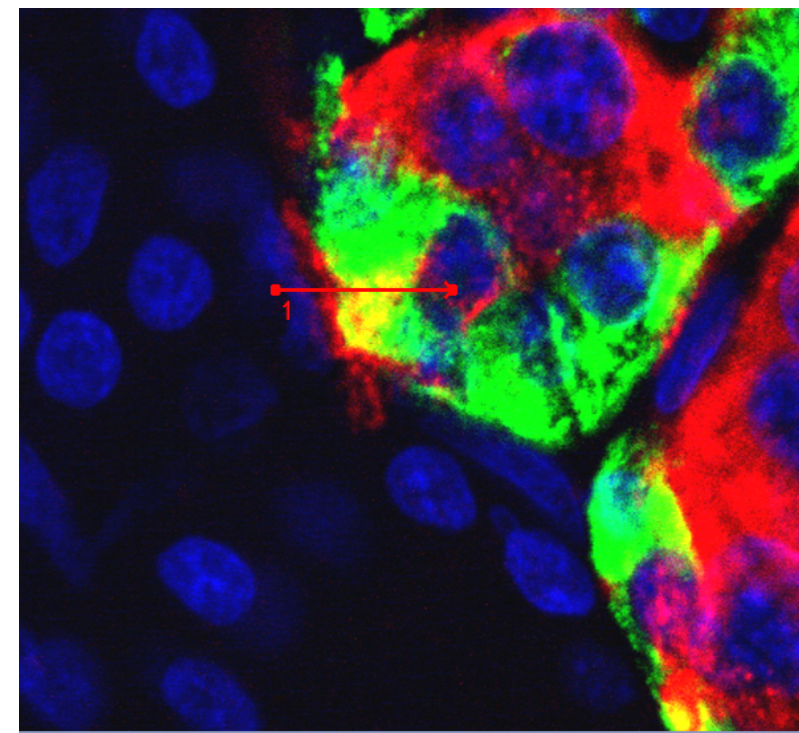
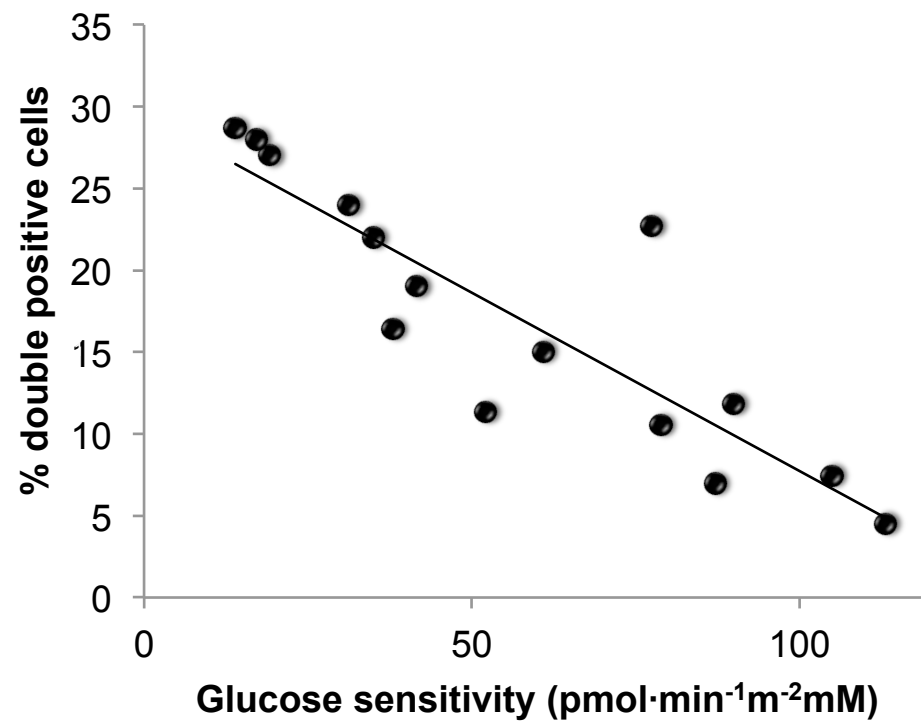
- NEOGENESI
- TRANSDIFFERENTIAZIONE $\alpha \rightarrow \beta$

Neogenesi e Glucose Sensitivity



Mezza T. et al. Submitted

Transdifferenziazione e Glucose Sensitivity



Mezza T. et al. Submitted

OUTLINE

- ❖ Background e Ipotesi

- ❖ Studio “In Vivo”

- ❖ Studi “Ex Vivo”

- Islet morphology

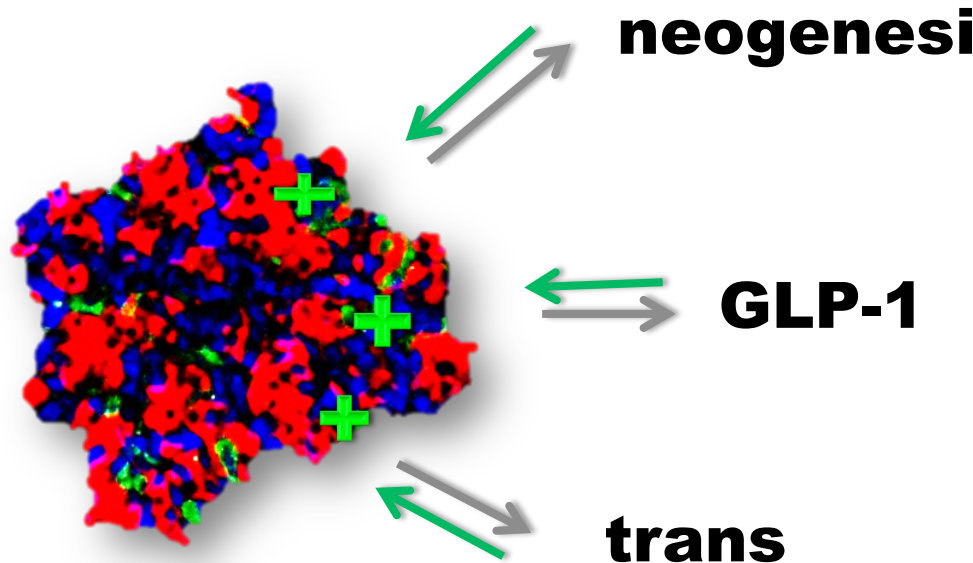
- Neogenesi

- Transdifferenziazione

- ❖ Modellistica

- ❖ Prospettive

PROSPETTIVE



- ✓ Individuare meccanismi molecolari alla base della plasticità insulare
- ✓ Nuovi target terapeutici per preservare la massa beta cellulare in pazienti non diabetici (a rischio)

RINGRAZIAMENTI

Policlinico Universitario A. Gemelli

Università Cattolica del Sacro Cuore

Andrea Giaccari

Gian pio Sorice

Caterina Conte

Chiara Cefalo

Alice Sun

Simona Moffa

Sergio Alfieri

Gennaro Clemente

Joslin Diabetes Center

Harvard Medical school- Boston (MA)

Rohit N. Kulkarni

Kulkarni lab

CNR- Padova

Andrea Mari

Fundings

EFSD